

سطوح عملکرد قابهای خمثی بتن مسلح با شکل پذیری متوسط و مقاومسازی آنها به روشهای مختلف

عباسعلی تسنیمی^{*}، ایوب بشیری^۲

۱- استاد گروه سازه، بخش مهندسی عمران، دانشکده فنی و مهندسی، دانشگاه تربیت مدرس

۲- فارغ‌التحصیل کارشناسی ارشد گروه سازه، بخش مهندسی عمران، دانشکده فنی و مهندسی، دانشگاه تربیت مدرس

*تهران، صندوق پستی ۱۴۱۱۵

tasnimi@modares.ac.ir

(دریافت مقاله: دی ماه ۱۳۸۵، پذیرش مقاله: خرداد ماه ۱۳۸۶)

چکیده - گستردگی استفاده از قابهای خمثی بتن مسلح با شکل پذیری متوسط از یک طرف و آسیب‌پذیر بودن آنها در برابر زلزله از طرف دیگر، بررسی سطوح عملکرد و مقاومسازی آنها را در دستور کار تحقیق حاضر قرار داد. تعداد دوازده عدد از این قابها با تفاوت در تعداد دهانه، طبقه و واقع شدن در منطقه لرزه‌خیزی متفاوت، مطابق ضوابط دستورالعمل بهسازی لرزه‌ای ساختمانهای موجود، به روش تحلیل استاتیکی غیرخطی ارزیابی و بررسی شد. با استفاده از روش طیف ظرفیت و روش ضرایب تغییر مکان، نقاط هدف بر روی منحنی ظرفیت این قابها تعیین و پس از مقایسه با یکدیگر، عملکرد تک‌تک اجزای سازه‌ای و کلی قابها به دست آمد. نتایج به دست آمده نشان می‌دهد که عموماً در قابهای با تعداد دهانه کمتر و خطر لرزه‌خیزی بالاتر، دارای عملکرد ضعیف بوده و برخی اجزای سازه‌ای، معیارهای پذیرش را برای سطح عملکرد اینمی جانی (بر طبق ضوابط دستورالعمل بهسازی) برآورده نمی‌سازند به منظور بررسی روشهای مختلف مقاومسازی، یکی از قابها به عنوان قاب مینا انتخاب و به سه روش افزودن دیوار بشی، پرکنند فولادی، پرکنندۀ‌های مصالح بنایی و روش چهارم کاهش وزن سازه به واسطه کاهش طبقات، قاب موردنظر مقاومسازی شده و با تحلیل مجدد قاب مقاومسازی شده با چهار روش فوق سطوح عملکرد آنها تعیین و با یکدیگر مقایسه شد. نتایج به دست آمده نشان می‌دهد که افزودن دیوار بشی به سیستم، بهترین راه برای مقاومسازی از دیدگاه عملکردی است.

کلید واژگان: سطح عملکرد، قابهای خمثی بتن مسلح، شکل پذیری متوسط، مقاومسازی، نقطه هدف.

همکاران در مطالعه آزمایشگاهی بر روی تقویت نوعی قاب کم آرماتور سه طبقه دو دهانه با دیوارهای پرکنندۀ در سال ۱۹۸۶ اشاره کرد [۱]. جیرسا و کریگر در سال ۱۹۸۹، قاب یک‌طبقه تقویت شده با دیوار بتنی پرکنندۀ

۱- مقدمه

عملکرد قابهای بتن مسلح مقاومسازی شده در سالهای اخیر بسیار مورد توجه محققان قرار گرفته است [۹-۱]. برای مثال می‌توان به تحقیقات یونفی و

با استفاده از تحلیل بار افزون با نرم افزار IDARC [۱۲] مطالعه می شود و در ادامه، قاب مقاوم سازی شده بتن مسلح با روش های افزودن دیوار بر شی، بادبند فولادی، پر کننده های مصالح بنایی و روش های دیگر کاهش وزن سازه به دلیل کاهش طبقات بررسی شده و روش های فوق مقایسه می شود.

۲- مبانی تعیین سطوح عملکرد

طراحی سازه ها در آیین نامه های موجود، بیشتر بر رفتار خطی سازه مبنی است. در زمان وقوع زلزله، سازه به محدوده غیر الاستیک خود وارد شده و به دلیل این رفتار، انرژی وارد شده از طرف زلزله به سازه را مستهلك می کند. برای بررسی شرایط سازه در زمان وقوع زلزله، یکی از روش های موجود، استفاده از تحلیل بار افزون است که با استفاده از آن منحنی ظرفیت سازه به دست می آید. برای بررسی سطح عملکرد سازه لازم است نقطه هدف بر روی منحنی ظرفیت سازه به دست آمده و در این نقطه، نیروها و تغییر شکلهای اعضا برای سطوح مختلف عملکرد بررسی شود و در نهایت سطح عملکرد سازه به دست آید. برای به دست آوردن نقطه هدف، روش های مختلفی در آیین نامه ها ذکر شده که می توان به روش طیف ظرفیت [۱۳، ۱۴]، روش ضرایب [۱۵، ۱۶] و روش N۲ اشاره کرد. در این تحقیق برای به دست آوردن نقطه هدف، از روش طیف ظرفیت و روش ضرایب استفاده شده است.

۳- قابهای مورد مطالعه

برای بررسی عملکرد ساختمنهای طراحی شده بر اساس آیین نامه بتن ایران، پلان شکل ۱ به عنوان پلان مبنا در نظر گرفته شد، جهت تیرریزی در شکل نشان داده شده است.

را مطالعه کردند [۲]. در سال ۱۹۹۰ بوسیله و همکاران استفاده از دیوارهای بتن آرمه مرزی (کناری) را برای مقاوم سازی قابی با ستونهای ضعیف و تیرهای قوی بررسی کردند [۳]. او همچنین در سال ۱۹۹۱ قاب دوطبقه و سده دهانه با مقیاس ۲/۳ را به روش تقویت بادبند های فولادی خارج از صفحه قاب بتنی، تحت بار سیکلی قرار دادند [۳]. ساکانو در سال ۱۹۹۲ عملکرد قاب یک طبقه و یک و سه دهانه تقویت شده با دیوار بتنی و پانل بتنی پیش ساخته را بررسی کرد [۴]. نگرو و ورزلتی در سال ۱۹۹۶ برای بررسی اثر میان قابها در رفتار کلی سازه ها، ساختمان ۴ طبقه بتنی با مقیاس کامل را آزمایش کردند. [۵]. گول و مسری در سال ۱۹۹۶ نمونه ای از قاب دوطبقه و دودهانه بتن آرمه با دال قارچی را با مقیاس ۱/۳ مدل سازی و با سیستم بادبند فولادی تقویت کردند [۶]. محرابی و همکاران در سال ۱۹۹۶ برای بررسی عملکرد قابهای بتن مسلح پر شده با مصالح بنایی تحت بارهای داخل صفحه، مطالعه جامعی را در دانشگاه کلرادو انجام داده اند [۷]. تسینیمی و همکاران (۱۳۷۹) تحقیقاتی را در زمینه مقاوم سازی قاب بتن آرمه به کمک بادبند های فولادی همگرا با اتصال مستقیم انجام دادند [۸]. قبارا و همکاران در سال ۲۰۰۰ برای تقویت یک ساختمان اداری سه طبقه با قابهای خمثی بتن آرمه، سه مدل سیستم مهاربندی فولادی واگرا را به کار برداشتند [۹]. در تحقیقات ذکر شده معمولاً به بررسی یکی از روش های مقاوم سازی پرداخته شده و مطالعه جامعی نسبت به چند روش مقاوم سازی این نوع قابها انجام نشده است. در این تحقیق ابتدا سطوح عملکرد قابهای خمثی بتن مسلح طراحی شده در مناطق با خطر نسبی متفاوت بر اساس آیین نامه بتن ایران [۱۰] و استاندارد ۲۸۰۰ [۱۱]،

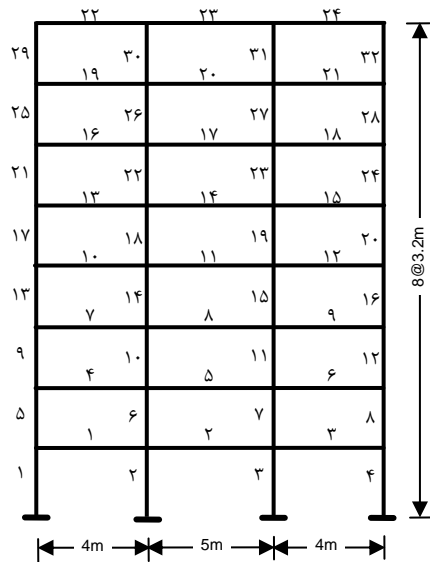
بسیار زیاد طراحی شده است.

۲-۳- سطح مقطع اجزای قابها

در شکل ۲ شماره گذاری تیرها و ستونها برای قاب F83A در شکل ۱ نشان داده است. همچنین به عنوان نمونه مقطع تیر و ستونهای قاب F83A در جدول ۱ نشان داده است.

جدول ۱ مقطع تیر و ستونهای قاب F83A

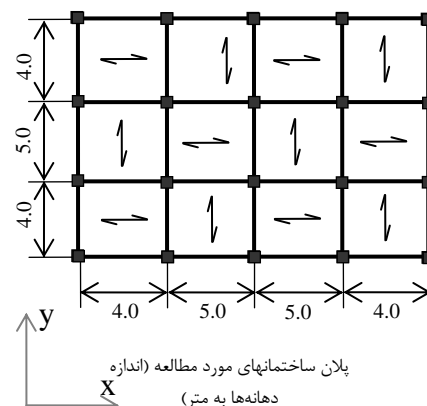
طبقه	۱ و ۲	۳ و ۴	۵ و ۶	۷ و ۷
مقاطع تیر و ستون (cm)	۵۰×۵۰	۴۵×۴۵	۴۰×۴۰	۳۵×۳۵



شکل ۲ شماره گذاری تیر و ستونهای قاب F83A

۳-۳- فولادگذاری در قابهای مورد مطالعه

علاوه بر ضوابط طراحی، ضوابط مربوط به شکل پذیری متوسط برای قابهای مورد مطالعه در نظر گرفته شده است. برای نمونه در قاب F83A برای ستون شماره ۳ و تیر شماره ۵، نحوه فولادگذاری در شکلهای ۳ و ۴ نشان داده شده است.



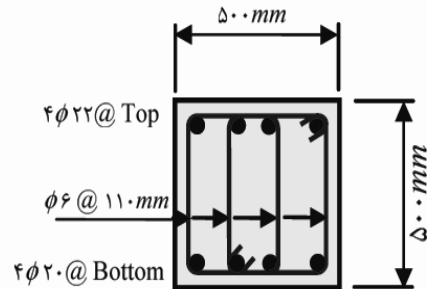
شکل ۱ پلان ساختمانهای طراحی شده

به منظور بررسی اثر تعداد طبقات، طراحی برای ۶، ۸، ۱۰ و ۱۲ طبقه انجام شد. طراحی براساس ساختمان خمسی متوسط انجام و تمامی ضوابط آینه نامه بتن ایران و استاندارد ۲۸۰۰ ویرایش سوم در نظر گرفته شد. علاوه بر این برای بررسی میزان خطر زلزله خیزی، ساختمانهای مذکور در دو منطقه با خطر نسبی لرزه خیزی بسیار زیاد و زیاد طراحی شد. برای عملیات مدلسازی دو قاب بحرانی موجود در پلان در دو جهت سدهانه و چهاردهانه به عنوان قابهای مبنا برای بررسی انتخاب شد. با توجه به متغیرهای بالا (تعداد طبقات (۲ نوع)، خطر لرزه خیزی (۲ نوع) و دهانه‌ها (۲ نوع)) ۱۲ قاب برای تحلیل انتخاب شده است.

۱-۳- نامگذاری قابها

برای سادگی در نمایش نمودارها، قابها با علائم اختصاری نامگذاری شد. ۱۲ قاب انتخاب شده به ترتیب زیر نامگذاری می‌شوند: FNSA که در آن F نمایانگر قاب با شکل پذیری متوسط، N تعداد طبقات (۶، ۸، ۱۰ و ۱۲)، S، A، B برای خطر لرزه خیزی (A برای خطر زلزله خیزی زیاد (۴)، B برای خطر زلزله خیزی زیاد (۳)) می‌باشد. به عنوان مثال F83A یعنی قاب خمسی متوسط هشت طبقه و دارای چهار دهانه که برای خطر زلزله خیزی

براساس روش استاتیکی خطی، نوع دوم-الف: توزیع یکنواخت که در آن بار جانبی متناسب با وزن هر طبقه محاسبه می‌شود) انجام شد و بحرانی‌ترین حالت انتخاب، مبنای توزیع بارگذاری جانبی قرار گرفت. اثر $p - \Delta$ نیز در مدلسازی ملاحظه شده است. بدین ترتیب خواص استاتیکی، مدار و منحنیهای بار افزون مربوط به هر یک از قابها با توجه به بارگذاری فوق به دست آمده است.



شکل ۳ فولادگذاری تیر شماره ۳ قاب F83A

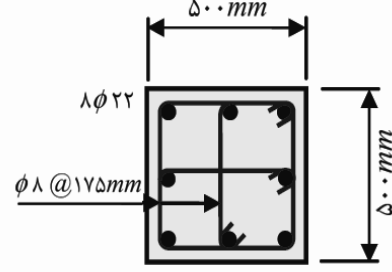
۴-۳- نقاط هدف قابها

۴-۱- روش ضرایب

تغییر مکان هدف در این روش از رابطه (۲) محاسبه می‌شود:

$$\delta_t = C_1 C_2 C_3 S_a \frac{T_e}{4\pi} g \quad (2)$$

که در آن C_1 ضریب اصلاح برای مرتبط کردن تغییر مکان طیفی با تغییر مکان با میان C_2 ضریب اصلاحی است که حداکثر تغییر مکان غیرارتجاعی موردنظر را با تغییر مکانهای C_3 به دست آمده از طیف ارجاعی خطی مرتبط می‌کند، ضریب اصلاحی برای نشان دادن تأثیر رفتار هیسترزیس بر تغییر مکان طیفی حداکثر سازه است، C_4 ضریب اصلاحی برای منظور کردن افزایش تغییر مکان در نتیجه آثار مرتبط دوم مرتبط با $\Delta - P$ و S_a شتاب طیفی است که با توجه به پرید اصلی مؤثر تعیین می‌شود و T_e زمان تناوب اصلی و مؤثر سازه است. برای محاسبه ضرایب C_1 تا C_4 از ضوابط و جداول هایی که در [۱۶] توضیح داده شده استفاده شد. برای قابهای مورد بررسی، شرایط سطح عملکرد اینمی جانی مدنظر است. در جدول ۲ مقادیر ضرایب و نقطه هدف به تکییک قابها آورده شده است. در جدول ۲ مقادیر ضرایب C_1, C_2, C_3 برابر ۱ است. در شکل ۵ موقعیت نقاط هدف در ساختمان با طبقات



شکل ۴ فولادگذاری ستون شماره ۵ قاب F83A

۴- مراحل تحلیل

۴-۱- مدلسازی عددی

مدلسازی قابهای مذکور در نرم افزار IDARC(v5/0) انجام شد. ضوابط مربوط به شکل پذیری متوسط در سوره فاصله خاموتها و همچنین نحوه آرماتوربندی در نظر گرفته شد. برای به دست آوردن سطوح عملکرد، تحلیل استاتیکی غیرخطی بار افزون انجام شده است.

۴-۲- بارگذاری

ترکیب بارگذاری بحرانی برای بارهای ثقلی در نظر گرفته شد که به صورت زیر است:

$$Q_G = 1/1 [Q_D + Q_L] \quad (1)$$

نحوه توزیع بار جانبی نیز با توجه به [۱۶] از دو نوع توزیع (نوع اول-الف: توزیع توانی تعمیم یافته، توزیع

دلیل این تغییرات در نقاط هدف را باید در طراحی جستجو کرد. در طراحی ساختمانها برای منطقه با خطر زلزله خیزی بسیار زیاد، روند طراحی با افزایش تعداد طبقات ساختمان، از روند کنترل تغییر مکان جانبی نسبی طبقات مطابق استاندارد ۲۸۰۰ (ویرایش سوم) به شدت متأثر است به طوری که با افزایش تعداد طبقات، طراحی به سمت استفاده حداقل میلگرد در ستونها پیش می‌رود. با توجه به این موضوع، با افزایش تعداد طبقات ساختمانها، ابعاد تیر و ستونهای موجود در قاب افزایش پیدا می‌کند و در حقیقت در روند طراحی، مقطع ستونها به گونه‌ای است که ظرفیت مقطع بسیار بیشتر از مقدار مورد نیاز است و طراحی بهینه انجام نمی‌شود، از این‌رو قابهای طراحی شده برای تعداد بیشتر طبقات، عملکرد بهتری را در برابر زلزله از خود نشان می‌دهند و جایه‌جایی نسبی بام در نقاط هدف، روند نزولی پیدا می‌کند. اما در ساختمانهای طراحی شده برای منطقه با خطر زلزله خیزی زیاد، طراحی متأثر از نیروهای موجود در اعضا است و محدودسازی تغییر مکان نسبی طبقات، شرط مهمی در طراحی نیست؛ در واقع طراحی براساس نیروهای موجود در مقاطع و میلگردگذاری بهینه انجام می‌شود و ظرفیت اعضا براساس میزان نیاز به دست می‌آید. در نتیجه نمی‌توان به صراحت درباره بهبود وضعیت نقطه هدف قابها با افزایش تعداد طبقات سخن گفت.

۴-۳- روشن طیف ظرفیت

در اینجا برای قاب F8۳A روند به دست آوردن نقطه هدف توضیح داده می‌شود. برای بدست آوردن تغییر مکان و شتاب طیفی ضرایب مودی از تحلیل مودال به دست آمد (جدول ۳).

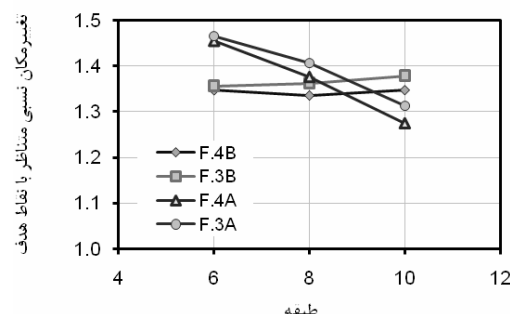
مخالف به روش ضرایب نشان داده شده است.

با توجه به منحنیهای شکل ۵ می‌توان دریافت که در قابهای طراحی شده در منطقه با خطر زلزله خیزی بسیار زیاد، جایه‌جایی نسبی بام در نقطه هدف با افزایش تعداد طبقات ساختمان روند نزولی دارد، اما در مورد قابهای طراحی شده در منطقه با خطر زلزله خیزی زیاد، جایه‌جایی نسبی بام در برابر تعداد طبقات، از روند مشخصی تبعیت نمی‌کند. همچنین قابهای سه‌دهانه در مقایسه با قابهای چهاردهانه در هر دو منطقه زلزله خیزی، نقاط هدف در قابها با تعداد طبقات یکسان، جایه‌جایی نسبی بیشتری در بام دارند.

جدول ۲ تغییر مکان هدف قابها با استفاده از روش ضرایب

تغییر مکان نسبی بام	δ_t (cm)	S _a	C.	T _e	نوع قاب
۱/۴۶	۲۷/۹۶	۰/۴۵	۱/۳۸	۱/۳۴	F۶۴A
۱/۳۵	۲۵/۸۶	۰/۳۸	۱/۳۹	۱/۳۹	F۶۴B
۱/۸	۳۵/۲۴	۰/۴۱	۱/۴۲	۱/۵۶	F۸۴A
۱/۳۴	۳۴/۱۹	۰/۳۳	۱/۴۰	۱/۶۸	F۸۴B
۱/۴۷	۲۸/۱۵	۰/۴۵	۱/۳۸	۱/۳۵	F۷۲A
۱/۳۶	۲۷/۰۴	۰/۳۸	۱/۳۹	۱/۴۰	F۷۲B
۱/۴۱	۳۷/۰۴	۰/۴۱	۱/۴۲	۱/۵۹	F۸۳A
۱/۳۶	۳۴/۹۰	۰/۳۳	۱/۴۰	۱/۷۰	F۸۳B
۱/۳۱	۴۲/۰۵	۰/۳۸	۱/۴۸	۱/۷۳	F۱۰۳A
۱/۳۸	۴۴/۱۳	۰/۳۰	۱/۴۸	۱/۹۹	F۱۰۳B
۱/۲۷	۴۰/۷۸	۰/۳۹	۱/۴۷	۱/۷۰	F۱۰۴A
۱/۳۵	۴۳/۱۱	۰/۳۰	۱/۴۸	۱/۹۶	F۱۰۴B

نقاط عملکرد در روش طیف ضرایب



شکل ۵ موقعیت نقاط هدف در روش ضرایب

این محاسبات برای سایر قابها نیز انجام شد که مقادیر نقطه هدف برای قابهای بررسی شده در جدول ۵ آورده شده است. در شکل ۶ موقعیت نقاط هدف در قابها با تعداد طبقات مختلف به روش طیف ظرفیت نشان داده شده است.

جدول ۴ ضرایب مربوط به کاهش طیف تقاضا و نقطه هدف قاب F83A

نوع سازه	B
K	۰/۷
β_0	۴۷/۷۱
β_{eff}	۳۷/۶۶
SR_A	۰/۴۴
SR_v	۰/۵۶
δ_t (A.D.R.S.) (cm)	۳۰
δ_t (cm)	۴۲/۶۷
تغییر مکان نسبی بام %	۱/۶۷

جدول ۵ تغییر مکان هدف قابها با استفاده از روش طیف ظرفیت

تغییر مکان نسبی بام %	δ_t (cm)	δ_t (ADRS) (cm)	نوع قاب
۱/۸۳	۳۵/۰۵	۲۵/۴۰	F63A
۱/۳۵	۲۵/۸۳	۱۸/۶۱	F63B
۱/۶۴	۲۲/۱۴	۲۲/۹۵	F64A
۱/۲۳	۲۳/۶۱	۱۷/۰۰	F64B
۱/۶۷	۴۲/۶۷	۳۰/۰۰	F83A
۱/۴۵	۳۷/۱۸	۲۶/۵۲	F83B
۱/۴۹	۳۸/۱۵	۲۶/۸۵	F84A
۱/۳۲	۳۳/۷۴	۲۴/۰۷	F84B
۱/۴۲	۴۵/۵۵	۳۰/۸۰	F103A
۱/۴۲	۴۵/۵۱	۳۰/۷۳	F103B
۱/۲۵	۳۹/۹۹	۲۷/۲۸	F104A
۱/۳۱	۴۱/۷۸	۲۸/۲۴	F104B

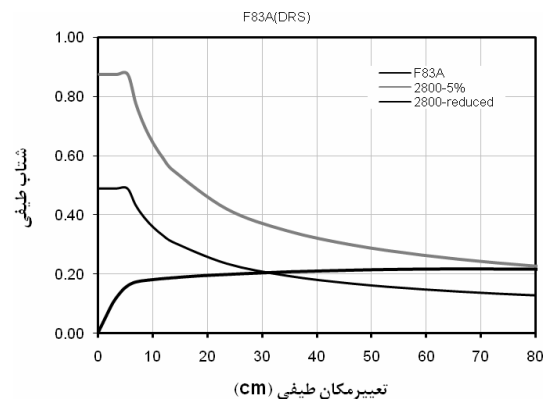
با توجه به شکل‌های ۵ و ۷ می‌توان دید که روند تغییر

که در آن α_1 ضریب جرم مودی مربوط به مود اول، PF_1 ضریب مشارکت مودی مربوط به مود اول و $\phi_{ROOF,1}$ مقدار دامنه مود اول در بام است. با استفاده از ضرایب فوق، منحنی ظرفیت در سیستم ADRS (شتاب - تغییر مکان) به دست می‌آید. این منحنی در کنار منحنی طیف تقاضای استاندارد ۲۸۰۰ ترسیم می‌شود و ضرایب مربوط به کاهش طیف تقاضا محاسبه شده و منحنی کاهش یافته طیف تقاضا ترسیم شده و در نهایت نقاط هدف به دست آمد. این ضرایب در جدول ۴ و منحنیهای مربوط در شکل ۶ نشان داده شده است.

جدول ۳ ضرایب مودال مربوط به مود اول قاب F83A

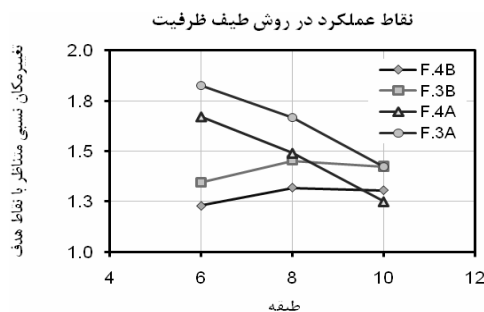
ضرایب	مقادیر
α_1	۰/۷۱
$\phi_{ROOF,1}$	۲/۶۹۳
PF_1	۰/۵۲۸۲

سازه با جزئیات خوب و مدت زمان ارتعاش زلزله زیاد در نظر گرفته شده و با توجه به [۱۶] مقدار مورد نیاز K برای محاسبات به دست آمد.



شکل ۶ منحنی ظرفیت قاب F83A در سیستم ADRS و طیف تقاضا و طیف کاهش یافته تقاضا

محاسبه شده است. در جدولهای ۶ و ۷ برای نمونه سطوح، عملکرد تیر و ستونهای قاب F83A آورده شده است. برای بررسی شرایط اعضاي قابها طراحی شده، جدول ۸ تهیه شده که در آن برای قابها، به تفکیک مشخص شده که در چه تعداد و که چه درصدی از تیر و ستونهای قاب در سطوح مختلف عملکرد قرار دارند. در این جدولها IO به معنای سطح عملکرد قابل استفاده بی وقه، LS یعنی جانی و آستانه فرو ریزش است.



شکل ۷ موقعیت نقاط هدف در قابها به روش طیف ژرفیت

جابه جایی نسبی بام در نقطه هدف در قابها با طبقات مختلف، مشابه روش ضرایب است. مبنای محاسبات برای به دست آوردن سطوح عملکرد، روش طیف ژرفیت در نظر گرفته شده است.

۴- سطوح عملکرد اجزای سازه‌ها مطابق دستورالعمل بهسازی

برای به دست آوردن سطوح عملکرد قابها مطابق دستورالعمل بهسازی، باید در نقطه هدف قاب، قاب بررسی شود و مطابق جداولی که در [۱۶] به تفصیل ارائه شده، برای اجزای سازه‌ای (تیر و ستونها) سطوح عملکرد به دست آید. معیارهای پذیرش برای تیرها میلگردگذاری $\frac{\rho - \rho'}{\rho_{bal}}$ ، ابعاد مقطع و نیروی برشی طراحی مقطع $\frac{V}{b_w d \sqrt{f_c}}$ و برای ستونها، براساس شرایط آرماتور عرضی، ابعاد مقطع و نیروی برشی طراحی مقطع $(\frac{P}{A_g f_c})^{2/77}$ و نیروی محوری طراحی $(\frac{P}{A_g f_c})^{2/77} \frac{V}{b_w d \sqrt{f_c}}$

جدول ۶ سطوح عملکرد تیرهای قاب F83A

$\frac{V}{b_w d \sqrt{f_c}}$	شرط آرماتور عرضی	$\frac{\rho - \rho'}{\rho_{bal}}$	معیار پذیرش			دوران	سطح عملکرد	شماره تیر	طبقه
			IO	LS	CP				
۰/۴۲	NC	۰/۰۵	۰/۰۵۰	۰/۰۱۰۰	۰/۰۱۹۹	۰/۰۰۶۱	IO-LS	۱ و ۳	۱
۰/۳۲	C	۰/۰۵	۰/۰۰۹۹	۰/۰۱۹۹	۰/۰۲۴۹	۰/۰۰۵۰	IO	۲	
۰/۴۳	NC	۰/۰۵	۰/۰۰۵۰	۰/۰۱۰۰	۰/۰۱۹۹	۰/۰۱۱۷	LS CP	۶ و ۴	۲
۰/۳۳	C	۰/۰۵	۰/۰۰۹۹	۰/۰۱۹۹	۰/۰۲۴۹	۰/۰۱۰۱	IO-LS	۵	
۰/۴۳	C	۰/۱۳	۰/۰۰۹۹	۰/۰۱۹۷	۰/۰۲۴۹	۰/۰۱۹۳	IO-LS	۹ و ۷	۳
۰/۳۳	C	۰/۱۳	۰/۰۰۹۹	۰/۰۱۹۷	۰/۰۲۴۹	۰/۰۱۷۴	IO-LS	۸	
۰/۴۴	C	۰/۱۳	۰/۰۰۹۹	۰/۰۱۹۷	۰/۰۲۴۹	۰/۰۲۳۰	LS CP	۱۲ و ۱۰	۴
۰/۳۳	C	۰/۱۳	۰/۰۰۹۹	۰/۰۱۹۷	۰/۰۲۴۹	۰/۰۲۰۶	LS CP	۱۱	
۰/۴۰	C	۰/۱۳	۰/۰۰۹۹	۰/۰۱۹۷	۰/۰۲۴۹	۰/۰۲۰۱	CP OVER)	۱۵ و ۱۳	۵
۰/۳۱	C	۰/۱۳	۰/۰۰۹۹	۰/۰۱۹۷	۰/۰۲۴۹	۰/۰۲۲۷	LS CP	۱۴	
۰/۳۵	C	۰/۱۵	۰/۰۰۹۸	۰/۰۱۹۷	۰/۰۲۴۸	۰/۰۲۴۴	LS CP	۱۸ و ۱۶	۶
۰/۲۷	C	۰/۱۵	۰/۰۰۹۸	۰/۰۱۹۷	۰/۰۲۴۸	۰/۰۲۱۳	LS CP	۱۷	
۰/۳۰	C	۰/۲۰	۰/۰۰۹۸	۰/۰۱۹۶	۰/۰۲۴۸	۰/۰۲۰۵	LS CP	۲۱ و ۱۹	۷
۰/۲۳	C	۰/۲۰	۰/۰۰۹۸	۰/۰۱۹۶	۰/۰۲۴۸	۰/۰۱۸۹	IO-LS	۲۰	
۰/۲۲	C	۰/۰۶	۰/۰۰۹۹	۰/۰۱۹۶	۰/۰۲۴۹	۰/۰۱۲۳	IO-LS	۲۴ و ۲۲	۸
۰/۱۲	C	۰/۰۶	۰/۰۰۹۹	۰/۰۱۹۹	۰/۰۲۴۹	۰/۰۰۳۴	IO	۲۳	

جدول ۷ سطوح عملکرد ستونهای قاب F83A

$\frac{V}{b_i d \sqrt{f_c}}$	شرایط آرماتور عرضی	$\frac{P}{A_g f_c}$	معیار پذیرش			دوران	سطح عملکرد	شماره ستون	طبقه
			IO	LS	CP				
۰/۵۵	NC	۰/۱۰	۰/۰۰۵	۰/۰۰۵	۰/۰۰۶	-۰/۰۰۱	IO	۳ و ۲	۱
۰/۳۷	C	۰/۱۴	۰/۰۰۴۷	۰/۰۱۴۶	۰/۰۱۹۳	-۰/۰۰۱	IO	۱ و ۴	
۰/۵۹	NC	۰/۰۹	۰/۰۰۵	۰/۰۰۵	۰/۰۰۶	-۰/۰۰۲	IO	۷ و ۶	۲
۰/۲۲	C	۰/۱۲	۰/۰۰۴۹	۰/۰۱۴۸	۰/۰۱۹۷	-۰/۰۰۲	IO	۸ و ۵	
۰/۶۵	NC	۰/۰۹	۰/۰۰۵	۰/۰۰۵	۰/۰۰۶	۰/۰۰۴	IO	۱۱ و ۱۰	۳
۰/۴۳	C	۰/۱۲	۰/۰۰۴۹	۰/۰۱۴۸	۰/۰۱۹۷	۰/۰۰۴	IO	۱۲ و ۹	
۰/۶۲	NC	۰/۰۸	۰/۰۰۵	۰/۰۰۵	۰/۰۰۶	۰/۰۰۵	IO	۱۵ و ۱۴	۴
۰/۳۹	C	۰/۰۹	۰/۰۰۵	۰/۰۱۵	۰/۰۲۰	۰/۰۰۴	IO	۱۶ و ۱۳	
۰/۶۵	C	۰/۰۸	۰/۰۰۵	۰/۰۱۵	۰/۰۲۰	۰/۰۰۴	IO	۱۸ و ۱۹	۵
۰/۴۵	C	۰/۰۹	۰/۰۰۵	۰/۰۱۵	۰/۰۲۰	۰/۰۰۴	IO	۲۰ و ۱۷	
۰/۵۷	C	۰/۰۶	۰/۰۰۵	۰/۰۱۵	۰/۰۲۰	-۰/۰۰۵	IO	۲۳ و ۲۲	۶
۰/۴۶	C	۰/۰۶	۰/۰۰۵	۰/۰۱۵	۰/۰۲۰	-۰/۰۰۴	IO	۲۴ و ۲۱	
۰/۵۰	C	۰/۰۵	۰/۰۰۵	۰/۰۱۵	۰/۰۲۰	-۰/۰۰۵	IO	۲۷ و ۲۶	۷
۰/۳۸	C	۰/۰۴	۰/۰۰۵	۰/۰۱۵	۰/۰۲۰	-۰/۰۰۳	IO	۲۸ و ۲۵	
۰/۳۱	C	۰/۰۲	۰/۰۰۵	۰/۰۱۵	۰/۰۲۰	-۰/۰۱۳	IO-LS	۳۱ و ۳۰	۸
۰/۱۸	C	۰/۰۲	۰/۰۰۵	۰/۰۱۵	۰/۰۲۰	-۰/۰۰۳	IO	۳۲ و ۲۹	

۴-۳-۴- بررسی قابهای چهاردهانه طراحی شده در منطقه با خطر لرزه‌خیزی بسیار زیاد

در این قابها با وجودی که در مقایسه جایه جایی نسبی در نقطه هدف در این قسمت روند کاهشی وجود دارد، اما با دقت در عملکرد اعضا مشخص می‌شود که با افزایش تعداد طبقات، عملکرد سازه، زیاد تغییر نمی‌کند و روند مطلوب شدن عملکرد سازه با افزایش طبقات محسوس نیست. ضعف عملکردی در تیرها اتفاق افتاده و ستونها - بجز چند مورد که به دلیل نیروی برشی زیاد در شرایط نامطلوب قرار گرفته‌اند - بهتری دارند.

۴-۴- بررسی قابهای چهاردهانه طراحی شده در منطقه با خطر لرزه‌خیزی زیاد

این قابها تقریباً شرایط ایمنی جانی مطابق دستورالعمل بهسازی را برآورده می‌کنند. با افزایش تعداد طبقات عملکرد اجزای سازه‌ای تقریباً بهبود پیدا کرده است؛ همچنین این قابها نسبت به بقیه قابها عملکرد بهتری دارند.

۴-۴-۱- بررسی قابهای سه‌دهانه طراحی شده در منطقه با خطر لرزه‌خیزی بسیار زیاد

با اینکه در مقایسه جایه جایی نسبی در نقطه هدف در این قسمت روند کاهشی وجود دارد، اما با دقت در عملکرد اعضا مشخص می‌شود که با افزایش تعداد طبقات، عملکرد سازه، زیاد تغییر نمی‌کند و روند مطلوب شدن عملکرد سازه با افزایش طبقات محسوس نیست. ضعف عملکردی در تیرها اتفاق افتاده و ستونها - بجز چند مورد که به دلیل نیروی برشی زیاد در شرایط نامطلوب قرار گرفته‌اند - شرایط سطح عملکردی ایمنی جانی را ارضا می‌کنند.

۴-۴-۲- بررسی قابهای سه‌دهانه طراحی شده در منطقه با خطر لرزه‌خیزی زیاد

با مقایسه این قابها مشخص می‌شود که با افزایش تعداد طبقات، تیرها عملکرد ضعیفتری را نشان می‌دهند و عملکرد کلی قاب ضعیفتر می‌شود. در ضمن عملکرد این قابها نسبت به قابهای مشابه طراحی شده در منطقه با خطر لزلجه‌خیزی بسیار زیاد بهتر است.

جدول ۸ درصد و تعداد اعضای سازه‌ای قابهای طراحی شده قرار گرفته در سطوح مختلف عملکردی

ستون‌ها				تیرها				نوع قاب	
OVER CP	LS-CP	IO-LS	IO	OVER CP	LS-CP	IO-LS	IO	تعداد	درصد %
.	۲	۸	۱۴	۲	۶	۹	۱	تعداد درصد %	F۷۳A
.	%۸/۳۳	%۳۳/۳۳	۵۸/۳۳	%۱۱/۱	%۳۳/۳۳	%۵۰	%۵۵		
.	.	۱۰	۱۴	.	۴	۵	۹	تعداد درصد %	F۷۳B
.	.	%۴۱/۶۶	%۵۸/۳۳	.	%۲۲/۲۲	%۲۷/۷۷	%۵۰		
.	.	۵	۲۵	.	۸	۱۰	۶	تعداد درصد %	F۷۴A
.	.	%۱۷/۶۶	%۸۳/۳۳	.	%۳۳/۳۳	%۴۱/۶۶	%۲۵		
.	۲	۱۴	۱۴	.	.	۱۲	۱۲	تعداد درصد %	F۷۴B
.	%۷/۶۶	%۴۷/۶۶	%۴۷/۶۶	.	.	%۵۰	%۵۰		
.	.	۲	۲۲	۲	۱۱	۹	۲	تعداد درصد %	F۸۳A
.	.	%۷/۲۵	%۹۳/۲۵	%۸/۳۳	%۴۵/۸	%۳۷/۵	%۸۳۳		
.	.	۸	۲۴	.	۸	۶	۱۰	تعداد درصد %	F۸۳B
.	.	%۲۵	%۷۵	.	%۳۳/۳۳	%۲۵	%۴۱/۷۶		
.	.	۳	۳۷	.	۸	۱۶	۶	تعداد درصد %	F۸۴A
.	.	%۷۵	%۹۲/۵	.	%۲۷/۶۶	%۵۳/۳۳	%۲۰		
.	.	۴	۳۶	.	۶	۱۲	۱۴	تعداد درصد %	F۸۴B
.	.	%۱۰	%۹۰	.	%۱۸/۷۵	%۳۷/۵	%۴۳/۷۵		
۲	۲	۶	۳۰	۷	۶	۶	۱۱	تعداد درصد %	F۱۰۳A
%۵	%۵	%۱۵	%۷۵	۲۳/۳۳	%۲۰	%۲۰	%۳۷/۶۶		
.	.	.	۴۰	.	۱۰	۱۳	۷	تعداد درصد %	F۱۰۳B
.	.	.	%۱۰۰	.	%۳۳/۳۳	%۴۳/۳۳	%۲۳/۳۳		
۳	.	۹	۳۸	۲	۱۴	۶	۱۸	تعداد درصد %	F۱۰۴A
%۶	.	%۱۸	%۷۶	%۵	%۳۵	%۱۵	%۴۵		
.	.	.	۵۰	.	.	۳۰	۱۰	تعداد درصد %	F۱۰۴B
.	.	.	%۱۰۰	.	.	%۷۵	%۲۵		

اضافه نشود، روش دیگری - که در آن کم کردن وزن سازه بر اثر کاهش تعداد طبقات است - نیز در این قسمت مورد مطالعه قرار گرفت. برای انجام مقاومسازی با توجه به اینکه شرایط مدلسازی نرمافزار IDARC برای دیوار صالح بنایی (مدلسازی بهروش دستک فشاری) با آنچه دستورالعمل بهسازی ارائه می‌کند متفاوت است و مشکلات تحلیل بار افرون برای این نوع سازه‌ها در این نرمافزار و همچنین شرایط مدلسازی بادبند در این نرمافزار موجود نیست، برای این دو نوع روش از نرمافزار SAP۲۰۰۰ استفاده شده است. در ادامه به طور مجزا نتایج

۴-۵- مقاومسازی

برای مقاومسازی قاب F۸۳A انتخاب می‌شود، با توجه به شرایط سازه انتخاب شده مشخص می‌شود که این سازه از نظر سختی جانبی مشکل دارد و با توجه به این نکته که خرابیها در چندین طبقه توزیع شده، تصمیم گرفته شد که مقاومت و سختی جانبی این سیستم افزایش پیدا کند. برای این منظور سه روش مقاومسازی، (الف) افزودن بادبندی‌های فلزی، (ب) افزودن دیوار برشی، (ج) افزودن میانقابهای صالح بنایی، برای ارتقای سختی جانبی سیستم انتخاب شد. همچنین برای اینکه به سیستم اجزای سازه‌ای

اضافه شود که البته برای سایر روشها نیز اجزای سازه‌ای اضافه شده به این دهانه اضافه شد. مقادیر حداقل مطابق آیین نامه بتن ایران (آبآ) برای طراحی دیوار برشی در نظر گرفته شد. این مقادیر برای ابعاد و فولادگذاری عبارتند از [۱۰]:

۱۵cm

ضخامت حداقل:

۰/۲۵

درصد فولاد قائم و افقی حداقل:

۴-۱-۵-۲- تحلیل

با توجه به مطالب گفته شده، تحلیل بار افزون روی سازه اعمال شد که در شکل ۹ منحنی بار افزون این قاب در مقایسه با قاب بدون مقاومسازی و سایر روش‌های مقاومسازی ارائه شده است.

جدول ۹ ضرایب مربوط به کاهش طیف تقاضا و نقطه هدف

قاب W.F83A

نوع سازه	B
K	۰/۷۷
β_0	۲۳/۱۶
β_{eff}	۲۲/۹
SR_A	۰/۵
SR_v	۰/۶۲
δ_t (A.D.R.S.) (cm)	۹/۴۸
δ_t (cm)	۱۳/۹۱
تفییر مکان نسبی بام٪	۰/۵۴۳۴

منظور از قاب W.F83A با دیوار برشی است. در جدول ۹ ضرایب مربوط به کاهش طیف تقاضا و نقطه هدف قاب آورده شده است.

ملاحظه می‌شود که مقاومت جانبی سیستم بیش از دو برابر شده است. برای بررسی سطح عملکرد قاب مقاومسازی شده، مراحل به دست آوردن سطح

این روشها بررسی و در نهایت مقایسه‌ای بین این ۴ روش انجام می‌شود.

لازم است توضیح دهیم که قاب مبنا با نرم‌افزار SAP ۲۰۰۰ نیز مدلسازی شد. با توجه به روند مدلسازی در نرم‌افزار SAP باید پارامترهای مدلسازی تیر و ستونها با توجه به نیروهای موجود در اعضا در نقطه هدف تعریف شوند. ظرفیت‌های خمثی اعضا مطابق دستورالعمل بهسازی به دست آمد. قاب F83A در نرم‌افزار SAP مدلسازی شد و مفصلهای خمثی برای تیر و ستونها تعریف شد. نحوه توزیع بار جانبی مانند نرم‌افزار IDARC در نظر گرفته شد. ظرفیت این قاب در شکل ۹ به صورت F83A.SAP نشان داده شده است.

۴-۱-۵-۱- مقاومسازی با استفاده از دیوار برشی**۴-۱-۵-۱-۱- مدلسازی**

برای مدلسازی این روش با توجه به قابلیت بالای نرم‌افزار IDARC در مدلسازی دیوار برشی از این نرم‌افزار استفاده شده است. در اینجا فرض شد که دیوار برشی اضافه شده به سیستم به‌طور کامل با ستونها و تیرهای قاب - به وسیله دوختن آرماتورها - در گیر می‌شوند. در این صورت می‌توان فرض کرد که ستونهای کناری با دیوار برشی اضافه شده به صورت یکپارچه عمل می‌کنند و این سه عضو را (دیوار برشی اضافه شده و دو ستون کناری) می‌توان یک مقطع دیوار برشی در نظر گرفت که سه مقطع دارد و تیرهای بین طبقات با توجه به دوخته شدن توسط آرماتورها، به صورت صلب عمل می‌کنند این تیرها تغییر شکل زیادی ندارند و تیرهایی که در قسمت دیوار برشی قرار ندارند، مطالعه شده است. برای اینکه تقارن در سختی در پلان حفظ شود، تصمیم گرفته شد که دیوار برشی به دهانه میانی

۴-۵-۲- مقاومسازی با استفاده از بادبند فولادی

۴-۲-۵- مدلسازی

مدلسازی این قسمت با نرم افزار SAP ۲۰۰۰ انجام شده است. مفصلهای اندرکنشی (p.m.m) برای ستونها، مفصلهای (p) برای بادبندها و مفصلهای خمیشی (m3) برای تیرها مطابق ضوابط مدلسازی [۱۶] تعریف شد. اتصال بادبندها به قاب به گونه‌ای فرض شد که بادبندها با استفاده از یک پوشش فلزی جلیقه‌ای- که از چهار نبیشی که به هم جوش شده و ستون را احاطه کرده‌اند - به قاب متصل شده است.

در این قسمت مشخصات بادبندی‌های اضافه شده به گونه‌ای است که خرابی، ابتدا در بادبندها و سپس در تیرها و بعد از آن در ستونها رخ می‌دهد. مشخصات اعضاًی بادبندی اضافه شده عبارتند از:

برای چهار طبقه اول: ناوданی دوتایی ۱۰ (۲۷۱۰)

برای چهار طبقه آخر: ناوданی دوتایی ۸ (۲۷۸) اعضای بادبندی اضافه شده - مانند دیوار برشی - در دهانه میانی به قاب اضافه شده است.

۴-۲-۵-۱- تحلیل

در شکل ۹ منحنی بار افزون قاب بدون مقاومسازی در نرم افزار IDARC و SAP ۲۰۰۰ و قاب مقاومسازی شده با بادبند و سایر روشهای نشان داده شده است. در این شکل F8۳A.B نشان‌دهنده قاب F8۳A است که با بادبند فلزی مقاومسازی شده.

ملحوظه می‌شود که مقاومت و سختی جانبی قاب به خوبی افزایش پیدا کرده اما شکل پذیری قاب در این حالت با توجه به پارامترهای مدلسازی کاهش یافته است. در جدول ۱۰ ضرایب مربوط به کاهش طیف تقاضا و نقطه هدف قاب آورده شده است.

عملکرد برای این قاب تکرار می‌شود. برای بررسی معیارهای پذیرش سطوح عملکرد برای اجزای دیوار برشی لازم است مقدار چرخش خمیری θ_P معلوم باشد. این در حالی است که نرم افزار IDARC این خروجی را برای دیوار برشی ارائه نمی‌کند و فقط انحنای خمیری Φ_P را ارائه می‌کند. برای تبدیل انحنای خمیری به چرخش خمیری با استفاده از روش [۱۷] داریم:

$$\theta_P = \phi_P l_P \quad (3)$$

که در آن l_P طول لولای خمیری است. برای به دست آوردن طول لولای خمیری، پاولی و پریسلی در سال ۱۹۹۲ رابطه‌ای را پیشنهاد کردند [۱۷] که طول لولای خمیری را برای دیوار برشی به دست می‌دهند:

$$l_P = 0.2l_w + 0.44h_w \quad (4)$$

در این رابطه l_w طول دیوار و h_w ارتفاع آزاد دیوار و l_P طول لولای خمیری در پای دیوار است که از پایه به سمت بالا اندازه گرفته می‌شود.

با به دست آوردن سطوح عملکرد اجزای سازه‌ای، ملاحظه می‌شود که تمامی اجزای سازه‌ای قاب در محدوده قابلیت استفاده بی وقفه قرار گرفتند. اضافه کردن دیوار برشی به قاب، نه تنها سطح عملکرد اینمی جانی را برآورده ساخته، بلکه سطح عملکرد قاب را یک درجه بالاتر برده و قاب را در محدوده قابلیت استفاده بی وقفه (IO) قرار داده است. می‌توان نتیجه گرفت که اضافه کردن دیوار برشی به قاب بتنی، باعث بهبود بسیار خوب عملکرد قاب و اجزای قاب می‌شود لذا در این مرحله، روند مقاومسازی به خوبی انجام شده است.

ذکر این نکته ضروری است که از آنجاکه مصالح بنایی به قاب موجود اضافه می‌شود، اثر بار محوری بر تأمین مقامات چسبندگی برشی زیاد نبوده و مطابق تفسیر دستورالعمل بهسازی، از این اثر صرفنظر شده و فقط اثر مقاومت چسبندگی برشی مصالح بنایی در نظر گرفته شده است.

جدول ۱۱ مشخصات مصالح مصرف شده در پرکننده‌های
مصالح بنایی

مدول ارجاعی (Mpa)	نوع مقاومت			ملات نسبت سیمان به ماسه
	برشی (Mpa)	فشاری (Mpa)		
۱۷۲۳	۰/۲۱۳	۹/۰۹	۳	۱

با این توضیحات مشخصات دستک فشاری - که باید در مدلسازی در نظر بگیریم و روند به دست آوردن این مشخصات در [۱۶] توضیح داده شده - در جدول ۱۲ آورده شده است.

جدول ۱۲ مشخصات دستک فشاری مدل سازی در طبقات

QCE (kN)	a(عرض دستک) cm	t _{inf} (cm)	طبقه
۲۰/۱۹۳	۷۶/۶۷	۲۰	۸
۲۰/۱۹۳	۷۶/۶۷	۲۰	۷
۱۹/۹۷۶	۷۹/۷۲	۲۰	۶
۱۹/۹۷۶	۷۹/۷۲	۲۰	۵
۲۴/۶۹۸	۸۰/۵۳	۲۵	۴
۲۴/۶۹۸	۸۰/۵۳	۲۵	۳
۲۹/۳۱۲	۸۰/۱۸	۳۰	۲
۲۹/۳۱۲	۸۰/۱۸	۳۰	۱

که در آن t_{inf} ضخامت پانل میانقاب و دستک فشاری

جدول ۱۰ ضرایب مربوط به کاهش طیف تقاضا و نقطه هدف

قابل F83A.B

نوع سازه	B
K	۰/۷۷
β	۲۲/۲۹
β_{eff}	۲۲/۲۸
SR_A	۰/۵۲
SR_v	۰/۶۰
δ_t (A.D.R.S.)(cm)	۸/۵۴۵
δ_t (cm)	۱۳/۱۱
تغییر مکان نسبی بام %	۰/۴۵۲۷

در این مدل روند خرابیها چنان است که نخست بادیندها بر اثر فشار کمانش کردند، سپس در برخی تیرها و بادیندهای کششی، مفاصل تشکیل شد و در نهایت خرابی به ستونها منتقل شد. در نهایت خرابی سیستم به علت کمانش بادیندها و خرابی ستونها به علت بار محوری زیاد است. بدلیل نیروی جانبی زیاد، بادیندهای فشاری خیلی زود کمانش کردند. پس از به دست آوردن سطوح عملکرد اجزای سازه‌ای ملاحظه شد که در این حالت، بادیند اضافه شده توانست سطح عملکرد قاب را بهمود بخشیده و سطح عملکرد ایمنی جانبی را برای قاب تأمین کند.

۴-۳-۵-۴- مقاومسازی با استفاده از پرکننده‌های مصالح بنایی

۴-۳-۵-۱- مدلسازی

برای استفاده از پرکننده‌های مصالح بنایی، با توجه به گستردگی در اجرای این نوع مصالح و مشخصات متفاوت این مصالح، از نتایج آزمایشگاهی [۱۸] استفاده شد. که این مشخصات در جدول ۱۱ آورده شده است.

نداشته است. به ویژه در مراحل اولیه تحلیل، بار افزون دو منحنی کاملاً منطبق بر هم هستند و در ادامه تحلیل و از آنجاکه در سطونها مفاصل پلاستیک اولیه تشکیل می‌شود، قاب با مدلسازی سطونها به صورت میله‌های کششی و فشاری اندکی ظرفیت بیشتری از خود نشان می‌دهد. در نهایت می‌توان نتیجه گرفت که از آنجاکه خرابی به سطونها منتقل نشده، دو روش مدلسازی با هم تفاوت زیادی ندارد. با توجه به توضیحات بالا، در ادامه برای محاسبات از روش ارائه شده در دستورالعمل بهسازی استفاده و قاب به صورت F83A.IN نامگذاری می‌شود. در جدول ۱۳ ضرایب مربوط به کاهش طیف تقاضا و نقطه هدف قاب آورده شده است.

جدول ۱۳ ضرایب مربوط به کاهش طیف تقاضا و نقطه هدف

قاب F83A.IN

نوع سازه	B
K	۰/۷۳
β_0	۳۵
β_{eff}	۳۰/۷۳
SR_A	۰/۴۴
SR_v	۰/۵۶
δ_t (A.D.R.S.) (cm)	۲۲/۱
δ_t (cm)	۲۸/۴۱
تغییر مکان نسبی بام %	۱/۱۱

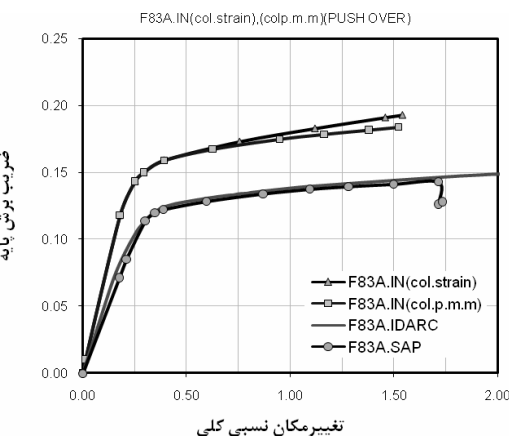
در این قسمت تقریباً در همهٔ تیرها و دستکهای فشاری مفاصل پلاستیک تشکیل شد، از آنجاکه نیروی برشی، به‌خصوص در تیرها افزایش پیدا می‌کند و پارامترهای مدلسازی و معیارهای پذیرش اجازه جایه‌جایی کمتری می‌دهد، روند خرابی، همزمان با

معادل، a عرض دستک فشاری معادل و Q_{CE} مقاومت برشی مورد انتظار میانقاب است.

برای مدلسازی سطونهای اطراف پرکننده مصالح بنایی دو روش وجود دارد، الف) مدلسازی سطونهای مجاور میانقاب براساس میله‌های کششی و فشاری. نامگذاری این قاب به صورت (col.strain) F83A.IN است. البته برای اینکه سطونها رفتار کششی و فشاری داشته باشند، باید سطون و اجزای قاب به طور کامل به هم درگیر شوند که فرض می‌شود در اضافه کردن این دیوارها به قاب، این انسجام به وسیلهٔ آرماتورهایی انجام شده باشد. ب) مدلسازی سطونهای مجاور میانقاب مطابق با رفتار اندرکننی بار محوری و لنگر خمی نامگذاری قاب، به صورت F83A.IN (col.p.m.m) است.

۴-۵-۳- تحلیل

در شکل ۸ منحنی بار افزون دو روش مدلسازی فوق مقایسه شده است.



شکل ۸ مقایسه دو روش مدلسازی در مقاومسازی با میانقابهای بنایی با قاب اصلی

با مقایسه دو روش فوق ملاحظه شد که دو روش مدلسازی سطونهای مجاور میانقاب با هم اختلاف زیادی

به دلیل کاهش کمتر از ۰/۲۵ درصد در وزن سازه و کاهش ارتفاع ساختمان، این افزایش را برای قاب داریم. در جدول ۱۴ ضرایب مربوط به کاهش طیف تقاضا و نقطه هدف قاب آورده شده است.

جدول ۱۴ ضرایب مربوط به کاهش طیف تقاضا و نقطه هدف

F83A.IN قاب

نوع سازه	B
K	۰/۷۳
β	۳۵/۵۲
β_{eff}	۳۲/۳۱
SR_A	۰/۴۴
SR_v	۰/۵۶
δ_t (A.D.R.S.) (cm)	۱۹/۷۸۹
δ_t (cm)	۲۸/۴۱
تغییر مکان نسبی بام %	۱/۰۴

مالحظه شد که بجز دو عضو - که تیرهای ۴ متری طبقه دوم به علت برش زیاد است - بقیه اعضاء در محدوده قابلیت استفاده بی وقهه تا اینمی جانی قرار دارند. این دو عضو نیز، زیاد از محدوده اینمی جانی خارج نشده و می‌توان سطح عملکرد کلی سازه را براساس سطح عملکرد اجزای سازه‌ای، اینمی جانی در نظر گرفت. لذا روند مقاومسازی در این مرحله نیز موفقیت‌آمیز بوده و سطح عملکرد کلی قاب و اجزای سازه‌ای به بازه مطلوب یعنی قابلیت استفاده بی وقهه تا اینمی جانی (IO-LS) رسید.

۴-۵-۵- مقایسه روش‌های مختلف مقاومسازی برای مقایسه روش‌های مختلف مقاومسازی، نخست منحنیهای مربوط به بار افزون روش‌های مختلف در شکل ۹

دستک‌های فشاری در تیرها نیز رخ می‌دهد. در نقطه هدف فقط دو تیر در دهانه‌های ۴ متری در طبقه دوم از محدوده اینمی جانی خارج شد اما با دقت در میزان دوران این اعضا می‌توان متوجه شد که این اعضا، زیاد از این محدوده خارج نشده‌اند و می‌توان از این دو عضو صرف‌نظر کرد و سطح عملکرد کلی ساختمان را اینمی جانی می‌توان در نظر گرفت. ملاحظه می‌شود که با قرار دادن دیوار مصالح بنایی در ساختمان یا با در نظر گرفتن دیوارهای مصالح بنایی موجود، مقاومت جانی سیستم افزایش پیدا کرده و سطح عملکرد کلی ساختمان و اجزای سازه‌ای قاب بهبود می‌یابند. نکته دیگری که باید به آن اشاره کرد این است که بعد از حد مشخصی، با اضافه کردن دیوارهای مصالح بنایی غیرمسلح نمی‌توان سطح عملکرد سازه را بهبود پخشید که دلیل آن، مقاومت برشی محدود این مصالح است.

۴-۵-۶- مقاومسازی با استفاده از کاهش وزن قاب

به علت کاهش طبقات

در این قسمت فرض شد که اجزای جدید سازه‌ای به سیستم اضافه نشد و در عوض، با کاهش تعداد طبقات ساختمان، وزن سازه را کاهش دادیم تا به سطح عملکرد مطلوب برسیم. با انجام تحلیلها مشخص شد که با کاهش دو طبقه از قاب، تقریباً به سطح عملکرد مطلوب - برای اجزای سازه‌ای که همان اینمی جانی است - می‌توان رسید. نامگذاری قاب به صورت F83A.۶ انجام شد که به معنای کاهش تعداد طبقات قاب به ۶ است. برای محاسبات این قسمت از نرم‌افزار IDARC انجام شده است که در شکل ۹ منحنی بار افزون این قاب در مقایسه با قاب اصلی آورده شده است. ملاحظه می‌شود که ضریب برش پایه بیشینه تقریباً ۱/۶۶ برابر شده است و

قرار داده و باعث توزیع خرابی در تیرها و ستونها می‌شوند. در استفاده از این گونه روشها برای مقاومسازی، برای عملکرد مناسبتر سیستم بهتر است تمهیداتی برای مقابله با افزایش این نیروها در اعضا در نظر گرفته شود که از آن میان، تقویت همزمان تیرها و ستونها را برای مقابله با این افزایش نیروها می‌توان نام برد.

۵- نتیجه‌گیری

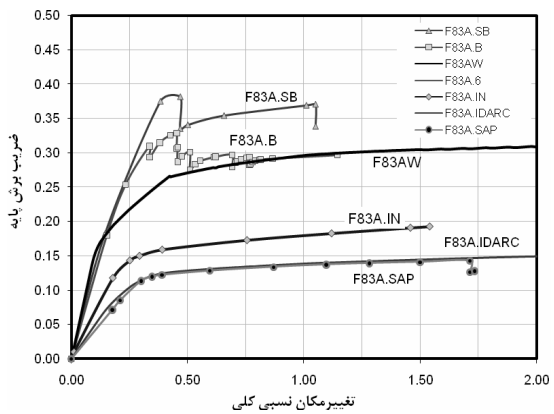
با توجه به مطالب این مقاله و با توجه به مدل‌های ارائه شده و فرضیات مدل‌سازی، برای مدل‌های در نظر گرفته شده نتایج زیر به دست آمد:

۱- نقاط هدف به دست آمده از دو روش مندرج در دستورالعمل بهسازی و تفسیر آن (روش ضرایب و روش طیف ظرفیت) نزدیک به هم بوده و تفاوت زیادی ندارند و روش طیف ظرفیت، معمولاً جایه‌جایی نسبی بیشتری را برای بام در نقطه هدف به دست می‌دهد.

۲- روند کنترل تغییر مکان نسبی در آیین نامه ۲۸۰۰ ویرایش سوم به گونه‌ای است که روند طراحی قابهای خمی بتن مسلح با شکل پذیری متوسط در منطقه با خطر لرزه‌خیزی بسیار زیاد را (به خصوص در ساختمانهای با تعداد زیاد طبقات) تحت تأثیر قرار می‌دهد و طراحی براساس کنترل تغییر مکان نسبی انجام می‌شود؛ یعنی مقاطع تیر و ستونها به گونه‌ای می‌شود که طراحی به سمت میلگرد حداقل پیش می‌رود و طراحی دست بالا می‌شود. در نتیجه جایه‌جایی نسبی به دست آمده در نقاط هدف، با افزایش تعداد طبقات، روند نزولی دارند.

۳- با به دست آوردن سطوح عملکرد اجزای سازه‌ای (تیر و ستونها) مشخص شد که در قابهای طراحی شده، معمولاً در تیرها و بعضًا در ستونها ضعف عملکرد وجود داشته و عملکرد این اجزا از محدوده سطح عملکرد ایمنی

آورده شده است. با مقایسه منحنیهای بار افزون، ملاحظه می‌شود که اضافه کردن بادبندی‌های فولادی، بیشترین افزایش را در مقاومت جانبی سیستم و پس از آن، به ترتیب دیوار برشی، کاهش وزن قاب و افزودن میانقابهای مصالح بنایی، افزایش در مقاومت جانبی سیستم را ایجاد کرده‌اند.



شکل ۹ منحنیهای بار افزون قاب F83A قبل و بعد از مقاومسازی

اما همچنانچه در قسمتهای قبل اشاره شد با مقایسه سطوح عملکرد قابهای مقاومسازی شده ملاحظه شد که افزودن دیوار برشی، بهترین عملکرد را در سیستم ایجاد کرده و سطح عملکرد سیستم را در محدوده قابلیت استفاده بی‌وقفه (IO) قرار داده است. می‌توان نتیجه گرفت که افزودن دیوار برشی به سیستم قاب - به علت توزیع بهتر بارهای افزایش یافته در نتیجه افزایش مقاومت جانبی سیستم در بین اجزای سازه‌ای و توزیع خرابی در اجزای سازه‌ای - بهترین روش مقاومسازی این نوع قابها است. سایر روش‌های مقاومسازی از آنجاکه باعث افزایش نیروی برشی در تیرها و ستونها و همچنین افزایش بار محوری در ستونها می‌شوند، معیارهای مدل‌سازی و معیارهای پذیرش سطوح عملکردی اجزای سازه‌ای را تحت تأثیر

- ۹- در مقاومسازی با پرکننده‌های مصالح بنایی غیرمسلح مشاهده شد که تا حدی می‌توان مقاومت جانبی سیستم را افزایش داد و عملکرد کلی قاب را بهبود بخشد.
- ۱۰- با کامش دو طبقه از طبقات قاب، سطح عملکرد مطلوب سازه‌ای - که همان ایمنی جانبی است - بهدست آمد.

۶- منابع

- [1] Yunfei, H., Yufeng, C., Chang, S., and Bainian, H ; “The Experimental Study of a Tow-Bay Three Story Reinforced Concrete Frame Under Cyclic Loading”; Proceeding of the Eighth Symposium on Earthquake Engineering, Roorkee, India, 1986.
- [2] Moehle, J. P.; “State of Research on Seismic Retrofit of Concrete Building Structures in US”; Pacific Earthquake Engineering Research Center University of California Berkeley, 2000.
- [3] T. Bush, E. Jones, and J. Jirsa, “Behavior of RC Frame Strengthening Using Structural Steel Bracing, Journal of Structural Engineering, ASCE, April 1991.
- [4] Sugano, S.; “Seismic Strengthening of Existing Reinforced Concrete Building in Japan”; International Institute of Seismology and Earthquake Engineering, Building Research Institute Ministry of construction, 1992.
- [5] Negro P., and Verzeletti G., “Effect of infills on the global behavior of R/C frames: energy considerations pseudo-

جانی براساس معیارهای پذیرش برای این سطح عملکرد مندرج در دستورالعمل بهسازی خارج شده است.

۴- عملکرد قابهای چهاردهانه، بهمراتب بهتر از قابهای سدهانه بهدلیل سختی بیشتر است.

۵- با مقایسه روشهای مختلف مقاومسازی ملاحظه شد که بیشترین افزایش در مقاومت جانبی، بهتریب مربوط به استفاده از سیستمهای بادبند فولادی، دیوار برشی، کاوش وزن طبقات و پرکننده‌های مصالح بنایی است.

۶- همچنین از نظر سطح عملکردی، بهترین سیستم مقاومسازی بهتریب عبارتند از: دیوار برشی، بادبند فولادی و پرکننده‌های مصالح بنایی.

۷- با قرار دادن دیوار برشی برای مقاومسازی در قاب خمثی بتن مسلح، بهدلیل افزایش مقاومت جانبی سیستم و توزیع مناسب نیروهای افزایش یافته در نتیجه افزایش مقاومت جانبی، عملکرد قاب بهطور قابل ملاحظه‌ای بهبود پیدا کرد و سطح عملکرد اجزای سازه‌ای و کل سازه به محدوده قابلیت استفاده بی‌وقفه (IO) رسید و جایه‌جایی نسبی متناظر با نقطه هدف بهشدت کاهش پیدا کرد.

۸- در مقاومسازی با بادبندهای فولادی، بادبندهای فشاری بهسرعت کمانش کرده است که اگر برای جلوگیری از کمانش بادبندها از بادبندهای قویتری استفاده می‌شود، بهعلت بار محوری افزایش یافته در ستونها و همچنین افزایش نیروی برشی در تیرها و ستونها و تغییر معیارهای مدلسازی و پذیرش، روند خرابی به ستونها و تیرها متقل می‌شود. در نتیجه مقاومسازی با بادبند فولادی برای افزایش سطح عملکرد تا مرحله قابلیت استفاده بی‌وقفه، افزودن فقط بادبند کافی نبوده و برای افزایش نیروهای محوری و برشی در ستونها و نیروی برشی در تیرها تمهداتی باید در نظر گرفته شود که برای مثال می‌توان به مقاوم کردن این اجزای سازه‌ای همزمان با افزودن بادبند فولادی اشاره کرد.

- [12] NCEER-96-0010, "IDARC2D Version 4.0; A Computer Program for the Inelastic Damage Analysis of Buildings." 1996.
- [13] Applied Technology Council, "Seismic Evaluation and Retrofit of Concrete Buildings", ATC40, 1996.
- [14] تفسیر «دستورالعمل بهسازی لرزه‌ای ساختمانهای موجود»، پژوهشگاه بین‌المللی زلزله‌شناسی و مهندسی زلزله، ۱۳۸۱.
- [15] FEMA-273; "Seismic Rehabilitation Guidelines", Federal Emergency Management Agency, September 1996.
- [16] دفتر امور فنی و تدوین معیارها، سازمان مدیریت و برنامه‌ریزی کشور، «دستورالعمل بهسازی لرزه‌ای ساختمانهای موجود»، ۱۳۸۱.
- [17] تسنیمی، عباسعلی، «رفتار و طرح لرزه‌ای ساختمانهای بتن مسلح (آبا + ۲۸۰۰)؛ مرکز تحقیقات ساختمان و مسکن، تهران، ک-۳۴۴ و ۱۳۸۰.
- [18] تسنیمی، عباسعلی، «رفتار دیوار آجری مندرج در استاندارد ۲۸۰۰؛ مرکز تحقیقات ساختمان و مسکن، گ-۴۰۴، ۱۳۸۳.
- [19] dynamic tests" Earth Eng. Structural Dynamic, 1996; pp. 25, 753-773.
- [6] Masri, S. Goel, "Seismic Design and Testing of an RC Slab-Column Frame Strengthened with Steel Bracing," Earthquake Spectra, Vol. 12, No. 4, November 1996; pp. 645-666.
- [7] Mehrabi A. B. and Shing P. B., Schuller M. P., and Noland J. L., "Experimental evaluation of masonry-infilled RC frames." Journal of Structural Engineering, 1996; pp. 122(3), 228-237.
- [8] تسنیمی، عباسعلی، «مقاآمسازی قابهای بتن مسلح به کمک بادبندهای فولادی»، مرکز تحقیقات ساختمان و مسکن، گ-۳۳۱، پاییز ۱۳۷۹.
- [9] Ghobarah, A., Abou Elfat, H.; "Rehabilitation of a Reinforced Concrete Frame Using Eccentric Steel Bracing"; Department of Civil Engineering, Mac Master University, Hamilton Ontario, Canada. Department of Engineering Alexandria University, Alexandria, Egypt, 2000.
- [10] دفتر امور فنی و تدوین معیارها، «آیین‌نامه بتن ایران»، سازمان مدیریت و برنامه‌ریزی، نشریه ۱۲۰، ۱۳۷۸.
- [11] آیین‌نامه طراحی ساختمانها در برابر زلزله (استاندارد ۲۸۰۰)، ویرایش سوم، مرکز تحقیقات ساختمان و مسکن، تهران، ۱۳۷۶.